

本研究结果显示大剂量组麦芽可明显降低模型大鼠血脂(TC、TG、LDL - C、HDL - C)及游离脂肪酸水平,与前人的研究相吻合。同时本研究显示麦芽对瘦素的合成也有影响,且对瘦素合成的影响与对糖脂代谢的调节呈正相关。因此,笔者认为麦芽对糖脂代谢的调节是多方面的,其中对瘦素表达的调节作用是其机制之一。

参考文献

1 赵春艳,普晓英,曾亚文,等. 大麦芽总黄酮类化合物含量的测定分析[J]. 植物遗传资源学报,2010,11(4):498 - 502
 2 王晓飞,周金影,金向群,等. 麦芽的药理研究及临床应用[J]. 中成药,2007,2(11):1677 - 1679
 3 陶弘景. 名医别录(尚志钧辑校)[M]. 北京:人民卫生出版社,1986:205 - 207
 4 李时珍. 本草纲目下册[M]. 北京:人民卫生出版社,1982:1156 - 1158

5 于鹰,平静,麦芽临床应用之历史沿革探析[J]. 江苏中医药,2010,42(9):60 - 61
 6 陈建澍,潘伟槐,童微量,等. 大麦β - 葡聚糖对小鼠血脂水平的影响[J]. 大麦科学,2002(3):23 - 25
 7 Yokoyama WH, Hudson CA, Knuckles BC, et al. Effect of barley β - glucan in durum wheat pasta on human glycemia response[J]. Cereal Chemistry, 1997, 74(3):293 - 296
 8 Wang I, Behr SR, Newman RK, et al. Comparative cholesterol lowering effects of barleyβ - glucan and barley oil in golden Syrian hamsters [J]. Nutrition Research, 1997(17):77 - 81
 9 张海蓉,夏雷. 肥胖对女性生殖系统功能影响的研究进展[J]. 山东医药,2008,48(39):112 - 113
 10 顾洪涛. 儿童单纯性肥胖的病因、危害及其防治[J]. 中国医刊,2012,47(7):34 - 35
 11 张海蓉,夏雷. 脂肪源性泌乳素的分泌及对代谢调节的影响[J]. 中国实用医药,2009,4(27):113 - 114
 (收稿日期:2013 - 07 - 23)
 (修回日期:2013 - 08 - 28)

ERα 通过 MTA3 调控 EMT 影响 HCC 细胞凋亡的研究

张宇华 胡智明 张成武 吴伟顶 刘 杰 尚敏杰 赵大建

摘要 目的 在肝细胞性肝癌(HCC)细胞中,探讨雌激素受体α(ERα)通过肿瘤转移相关基因3(MTA3)调控 HCC 细胞上皮 - 间质转换(EMT)对 HCC 细胞凋亡的影响。**方法** 使用雌二醇、氟维司琼干预 HCC 细胞中 ERα 的表达,采用 real - time PCR 测定信号通路中关键因子 MTA3、EMT 关键调节因子 Snail、E - cadherin,及凋亡相关因子 BAX 在处理前后 mRNA 水平的改变,探讨 ERα、MTA3 改变与 HCC 细胞 EMT 和凋亡改变的关系。**结果** ERα→MTA3→Snail→E - cadherin 信号通路各相关因子在部分 HCC 细胞(HepG2)中表达。雌二醇处理 ERα 高表达的 HepG2 细胞后,Snail 表达下降,E - cadherin 表达上升,EMT 被抑制;BAX 表达上升,HCC 细胞凋亡增加。氟维司琼处理后,Snail 表达上升,E - cadherin 表达下降,EMT 被激活;BAX 表达下降,HCC 细胞凋亡被抑制,而在 ERα 低表达的 SMMC - 7721 细胞中,则没有明显差异。**结论** ERα 高表达的 HCC 细胞中,ERα→MTA3→Snail→E - cadherin 信号通路存在并调节 EMT。雌二醇可以激活 ERα 表达,抑制 EMT 进而抑制细胞凋亡,而氟维司琼则可以通过抑制 ERα,激活 EMT。

关键词 雌激素受体α 肿瘤转移相关基因3 上皮 - 间质转换 肝细胞性肝癌
 [中图分类号] R735 [文献标识码] A

Role of ERα in Governing EMT via MTA3 and Its Correlation with Apoptosis in HCC Cells. Zhang Yuhua, Hu Zhiming, Zhang Chengwu, et al. Hepatobiliary Surgery Department, Zhejiang Provincial People's Hospital, Zhejiang 310014, China

Abstract Objective To investigate the role of ERα and MTA3 in EMT via ERα→MTA3→Snail→E - cadherin signaling pathway and the correlation with cell apoptosis in HCC cells. **Methods** The HCC cells were treated with different concentrations of estradiol and fulvestrant for 48 hours. Expression of MTA3, Snail and E - cadherin mRNA, apoptosis protein BAX mRNA were detected by real time PCR. **Results** The molecular involved in ERα→MTA3→Snail→E - cadherin signaling pathway were existed in some of the HCC cells such as HepG2. In ERα positive HCC cell HepG2, more expression of MTA3, less expression of Snail and more expression of E - cadherin.

基金项目:浙江省医药卫生科技计划基金资助项目(2012KYB015)
 作者单位:310014 杭州,浙江省人民医院肝胆外科
 通讯作者:赵大建,电子邮箱:zyhemail@hotmail.com

in was detected in HepG2 cells after the treatment of estradiol, and these changes were correlated with a higher expression of BAX. The opposite changes were observed in HepG2 cells after treated with fulvestrant. However, in ER α negative HCC cell SMMC - 7721, no change of these factors could be detected. **Conclusion** ER α →MTA3→Snail→E - cadherin signaling pathway was existed in some of the HCC cells and governed EMT. Estradiol could suppress EMT via this signaling pathway in ER α positive HCC cell HepG2, while fulvestrant had the opposite function.

Key words ER α ; MTA3; EMT; HCC

肝细胞性肝癌(hepatocellular carcinoma, HCC)病死率高,每年全球 50 万以上患者诊断为原发性肝癌, HCC 约占原发性肝癌的 85%^[1]。我国是 HCC 高发区,发病人数约占全球 55%,在肿瘤相关死亡中仅次于肺癌,手术治疗是目前治疗效果最佳、唯一有可能治愈的方案,但是 5 年内再次发现肿瘤的概率为 75%^[2]。进展期肝癌目前无有效治疗方案,放化疗对 HCC 无效。分子靶向治疗是目前发展十分迅速的一个领域,但索拉菲尼是一种小分子多激酶抑制剂,仅能使 37% 患者延长生存期 2~3 个月^[3]。雌激素在 HCC 发生发展中起作用,但目前对此方面的研究不多。上皮间质转换(epithelial - mesenchymal transition, EMT)为目前肿瘤研究的热点,影响多种肿瘤的转移及进展,而雌激素受体 α (Estrogen receptor α , ER α)通过调控 Snail、E - cadherin (EMT 重要调控因子)调控 EMT 已经在乳腺癌、卵巢癌及前列腺癌等中被证实,但在 HCC 中,目前尚未发现有关 ER α 调控 EMT 的报道。笔者通过检测雌二醇、氟维司琼作用于 HCC 细胞后 MTA3、Snail、E - cadherin 和 BAX 表达变化,明确 ER α 通过 ER α →MTA3→Snail→E - cadherin 信号通路影响 HCC 细胞 EMT,进而影响 HCC 细胞凋亡的机制,为针对 ER α 的治疗应用于 HCC 提供理论基础。

材料与方 法

1. HCC 细胞:HCC 细胞株:HepG2、SMMC - 7721 (中国医学科学院肿瘤细胞库)。

2. 细胞培养:HepG2、SMMC - 7721 细胞于 DMEM 培养基(含 10% 胎牛血清、100U/ml 青霉素、100mg/ml 链霉素)(杭州四季青)37℃、5% CO₂ 常规培养。

3. Western blot:按照常规方法提取细胞总蛋白、定量。蛋白变性后 10% SDS - 聚丙烯酰胺收集 + 5% SDS - 聚丙烯酰胺分离,蛋白湿转至 PVDF 膜,脱脂奶封闭后,ER α 、MTA3、Snail、E - cadherin、BAX (Santa Cruz Biotechnology 公司) 4℃ 振荡孵育过夜,二抗(抗兔或抗鼠 IgG, Santa Cruz Biotechnology 公司)室温孵育 1h, ECL 显色。 β - actin (Santa Cruz Biotechnology 公司)作为内参照。

4. 分组及干预药物浓度:HepG2、SMMC - 7721 细胞在无酚红培养液中调节细胞浓度为 2.0×10^6 个/毫升。空白对照

组无酚红培养液培养;药物干预组浓度:雌二醇 (Sigma, 德国)浓度: 10^{-9} mol/L、 10^{-8} mol/L、 10^{-7} mol/L、 10^{-6} mol/L; 氟维司琼 (Sigma 公司, 德国)浓度: 10^{-9} mol/L、 10^{-8} mol/L、 10^{-7} mol/L、 10^{-6} mol/L。药物干预 48h 后测定各目标基因的相对浓度。

5. 引物设计:采用 Primer 5.0 引物设计软件和引物设计原则进行引物的设计,然后由上海生物工程有限公司负责合成:引物序列:ER α : SE: 5' - AATgATTCTATAATgCCATCATgCAGc - 3', AS: 5' - gCTTggTTAAACATATCTgCAAaggTTac - 3'; MTA3: SE: 5' - TgAggCTgAggAggAggC - 3', AS: 5' - CTTC-TATCCTTCTTATTAaggTATgggTTgC - 3'; Snai: SE: 5' - gAggCg-gTggCAGACTAg - 3', AS: 5' - gACACATCggTCAgACCAg - 3'; E - cadherin: SE: 5' - gAATCCAAAACCTCAgTCA - 3', AS: 5' - TgTAgtCACCCACCTCTAAg - 3'; BAX: SE: 5' - AACTggA-CAGTAACATgg - 3', AS: 5' - CTTATAgACCACATCTgA - 3'; β - actin: SE: 5' - gATgCTgCTTACATgTCTCg - 3', AS: 5' - CCAgCAGAgAATggAAAgtC - 3'。

6. PCR 反应条件:Trizol 法提取细胞总 RNA,紫外分光光度计测 RNA 纯度和浓度。cDNA 合成:用反转录酶合成 cDNA,按试剂盒操作。实时定量 PCR 反应参数:95℃, 5min; 95℃, 20s; 55℃, 20s; 72℃, 30s; 共 35 个循环。所有实验重复 3 次。PCR 产物以曲线起翘值 (Ct 值) 作为分析依据。在 ABI7500 软件体系中调整基线和阈值,读出各反应孔 Ct 值。以 β - actin 作为内对照。根据靶基因及 β - actin 基因 Ct 值计算 Δ Ct 进行分析, Δ Ct = 2^(β - actin 基因的 Ct 值 - 靶基因的 Ct 值), Δ Ct 值越高,表达越低。

7. 统计学方法:SPSS 13.0 软件进行统计分析,数据以均数 \pm 标准差 ($\bar{x} \pm s$) 表示,统计学分析用独立样本 *t* 检验, *P* < 0.05 表示差异有统计学意义。

结 果

1. HCC 细胞中 ER α 、MTA3、Snail、E - cadherin、BAX 在基因和蛋白层面的表达:从图 1 可以发现 HepG2 细胞有 ER α 表达,而 SMMC - 7721 细胞基本无 ER α 表达; MTA3、Snail、E - cadherin、BAX 在两个细胞株中均有表达,MTA3 在两个细胞株中表达无明显差异; HepG2 细胞中 Snail 表达低, E - cadherin 表达高; 而 SMMC - 7721 细胞中 Snail 表达高, E - cadherin 表达低; BAX 在两株细胞中无明显差异。

2. Real - time PCR 法:检测 HCC 细胞经过雌二

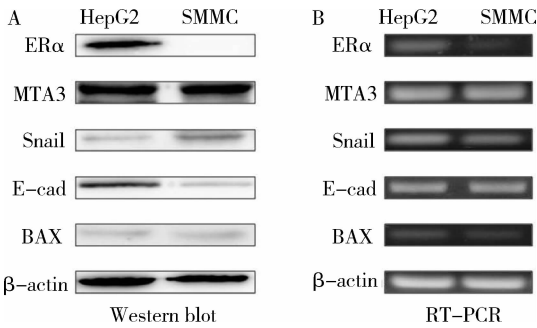


图 1 ER α 、MTA3、Snail、E-cadherin、BAX 在 HCC 细胞株 HepG2、SMMC-7721 中的表达

A. 上述因子蛋白通过 Western blot 检测后的结果；B. 上述因子基因通过 RT-PCR 检测后的结果

醇、氟维司琼作用后, MTA3、Snail、E-cadherin 和 BAX mRNA 的表达水平的变化。HCC 细胞株 HepG2 和 SMMC-7721 经不同浓度雌二醇、氟维司琼作用 48h 后, MTA3 基因表达的变化。HepG2 细胞经过不同浓度雌二醇处理后, 随着雌二醇浓度升高, MTA3 基因 ΔCt 下降, 表达升高, 各组间表达有统计学意义 ($P < 0.05$, 图 2A), 而 SMMC-7721 细胞 MTA3 则无明显统计学意义。HCC 细胞经过不同浓度氟维司琼作用 48h 后, 随着浓度升高, HepG2 细胞 MTA3 表达下降 ($P < 0.05$, 图 2B), 而 SMMC-7721 细胞 MTA3 表达改变无统计学差异 (图 2)。HCC 细胞株 HepG2 和 SMMC-7721 经不同浓度雌二醇、氟维司琼作用 48h 后, Snail 基因表达的变化。HepG2 细胞经过不同

浓度雌二醇处理后, 随着雌二醇浓度升高, Snail 基因 ΔCt 上升, 表达下降, 各组间表达有统计学意义 ($P < 0.05$, 图 3A), 而 SMMC-7721 细胞 MTA3 则无明显统计学意义。HCC 细胞经过不同浓度氟维司琼作用 48h 后, 随着浓度升高, HepG2 细胞 Snail 表达上升 ($P < 0.05$, 图 3B), 而 SMMC-7721 细胞 Snail 表达改变无统计学差异 (图 3)。HCC 细胞株 HepG2 和 SMMC-7721 经不同浓度雌二醇、氟维司琼作用 48h 后, E-cadherin 基因表达的变化。HepG2 细胞经过不同浓度雌二醇处理后, 随着雌二醇浓度升高, E-cadherin 基因 ΔCt 下降, 表达升高, 各组间表达有统计学意义 ($P < 0.05$, 图 4A), 而 SMMC-7721 细胞 E-cadherin 则无明显统计学意义。HCC 细胞经过不同浓度氟维司琼作用 48h 后, 随着浓度升高, HepG2 细胞 E-cadherin 表达下降 ($P < 0.05$, 图 4B), 而 SMMC-7721 细胞 E-cadherin 表达改变无明显统计学差别 (图 4)。HCC 细胞株 HepG2 和 SMMC-7721 经不同浓度雌二醇、氟维司琼作用 48h 后, BAX 基因表达的变化。HepG2 细胞经过不同浓度雌二醇处理后, 随着雌二醇浓度升高, BAX 基因 ΔCt 下降, 表达升高, 各组间表达有统计学意义 ($P < 0.05$, 图 5A), 而 SMMC-7721 细胞 BAX 则无明显统计学意义。HCC 细胞经过不同浓度氟维司琼作用 48h 后, 随着浓度升高, HepG2 细胞 BAX 表达下降 ($P < 0.05$, 图 5B), 而 SMMC-7721 细胞 BAX 表达改变无明显统计学差别 (图 5)。

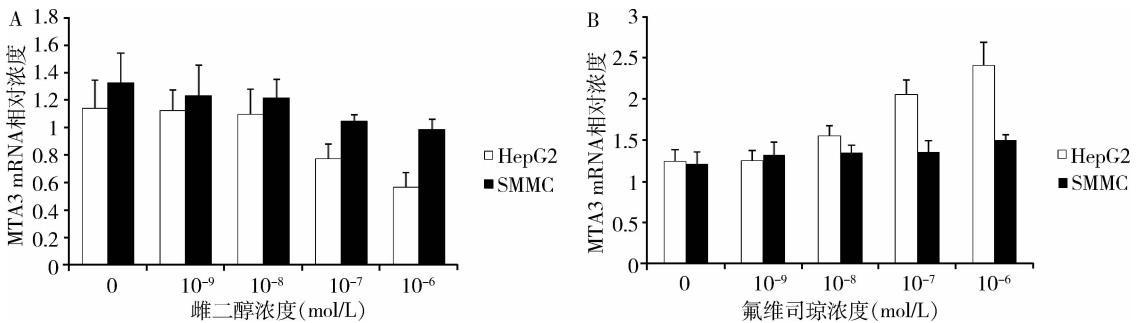


图 2 雌二醇和氟维司琼处理 HepG2 和 SMMC-7721 细胞后经 real-time PCR 检测后 MTA3 基因表达 (ΔCt) 的变化

A. 不同浓度的雌二醇处理后, HCC 细胞 MTA3 基因表达的变化; B. 不同浓度的氟维司琼处理后 MTA3 基因表达的变化

讨 论

HCC 总体治疗效果仍不满意。手术治疗是目前治疗效果最佳、唯一有可能治愈的方案, 但是 5 年内肿瘤复发率为 75%^[2]。进展期肝癌目前无有效治疗方案, 全身化疗对 HCC 无效。分子靶向治疗是目前发展十分迅速的一个领域, 索拉菲尼是一种低分子多

激酶抑制剂, 2007 年 FDA 批准可适用于不能切除的晚期肝癌, 与安慰剂相比, 能使 37% 患者延长生存期 2~3 个月^[3]。其他尚有 brivanib、erlotinib、bevacizumab 等分子靶向药物正进行临床研究, 尽管目前 HCC 分子靶向治疗发展十分迅速, 但进展期肝癌总体疗效不佳。

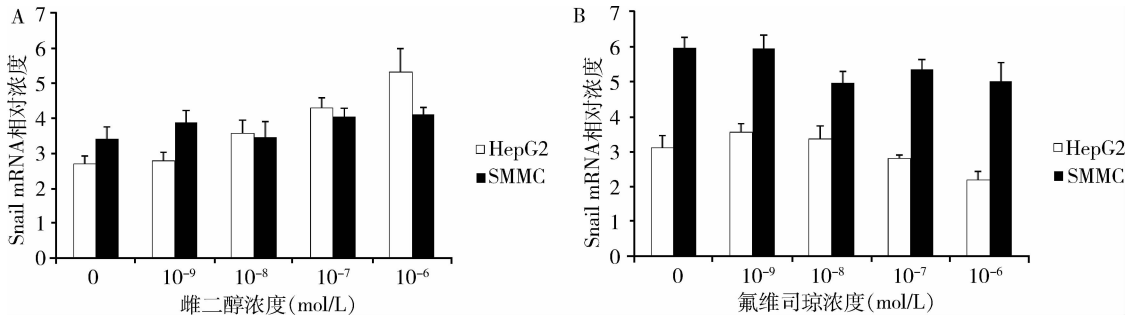


图3 雌二醇和氟维司琼处理 HepG2 和 SMMC - 7721 细胞后经 real - time PCR 检测后 Snail 基因表达 (Δ Ct) 的变化
A. 不同浓度的雌二醇处理后, HCC 细胞 Snail 基因表达的变化; B. 不同浓度的氟维司琼处理后 Snail 基因表达的变化

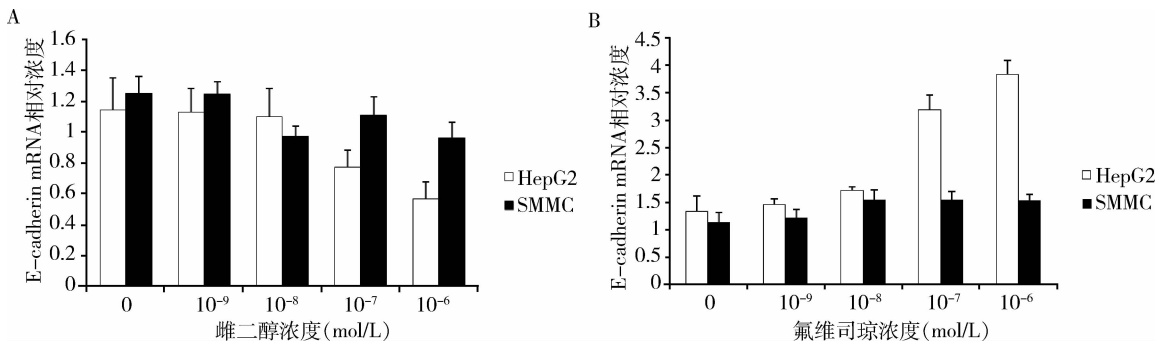


图4 雌二醇和氟维司琼处理 HepG2 和 SMMC - 7721 细胞后经 real - time PCR 检测后 E - cadherin 基因表达 (Δ Ct) 的变化
A. 不同浓度的雌二醇处理后, HCC 细胞 E - cadherin 基因表达的变化; B. 不同浓度的氟维司琼处理后 E - cadherin 基因表达的变化

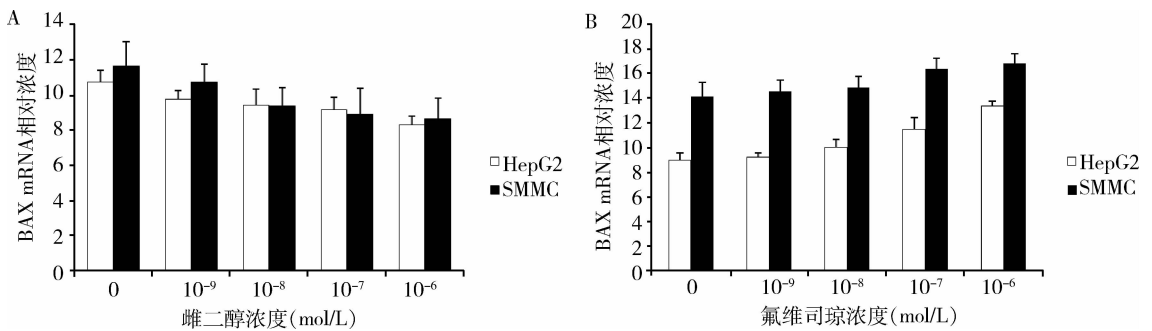


图5 雌二醇和氟维司琼处理 HepG2 和 SMMC - 7721 细胞后经 real - time PCR 检测后 BAX 基因表达 (Δ Ct) 的变化
A. 不同浓度的雌二醇处理后, HCC 细胞 BAX 基因表达的变化; B. 不同浓度的氟维司琼处理后 BAX 基因表达的变化

EMT 是目前肿瘤研究的热点之一, EMT 能使肿瘤细胞侵袭力更强, 恶性程度更高, 耐药性更强, 预后更差, 抑制 EMT 也是下一步肿瘤治疗的关键之一^[4]。肝细胞虽不是上皮细胞, 但其表现出极性并相互粘连, 呈现上皮细胞特性。已有大量文献证实 EMT 在肝脏疾病发生发展过程中起重要作用, EMT 被认为是从肝硬化向肝癌转移的桥梁, EMT 指标能在肝硬化中发现, 并在肝癌患者中表达增强, 而在 HCC 伴转移的患者中表达最强^[5, 6]。目前已证实

Snail 为 EMT 中最重要的调控因子, Snail 表达升高预示 EMT 被激活^[4, 7]。而 E - cadherin 是 Snail 下游受体, 受 Snail 抑制, E - cadherin 被认为是 EMT 的直接调控因子, E - cadherin 表达下降提示 EMT 被激活^[4, 8]。

雌激素在肝癌发生发展过程中起作用, 男性 HCC 发病率明显比女性高, 约为 3 ~ 5 倍, 在动物实验中也发现类似的情况, 使用二乙基亚硝胺诱导小鼠 HCC, 在雄性小鼠中 100% 诱导而雌性小鼠中仅

10% ~ 30% 诱导成功^[9]。以上结果提示雌激素在 HCC 发生发展中起作用,能抑制 HCC 的发生进展,但目前对此机制的研究不多。Nakatani 等^[10]和 Naugler 等^[11]发现雌激素能通过抑制白介素 6 抑制二乙基亚硝胺诱导的肝损害,并抑制 HCC 在雄性小鼠中的发展。ER α 通过 Snail、E-cadherin 调节 EMT 在乳腺癌、前列腺癌、卵巢癌等激素密切相关的肿瘤中均被发现,ER α 高表达抑制 EMT,改善肿瘤预后^[12]。但笔者未发现 ER α 在 HCC 中调节 EMT 相关的报道。

笔者首先在 HCC 细胞中通过 RT-PCR 及 Western blot 显示 MTA3、ER α 、Snail、E-cadherin、BAX 在 HCC 细胞中存在并表达,结果提示 ER α →MTA3→Snail→E-cadherin 信号通路中各个因子在 HCC 细胞中存在。在 HepG2 细胞中,ER α 表达明显高于 SMMC-7721 (图 1)。然后笔者通过雌二醇激活 ER α 后,real-time PCR 发现在 ER α 高表达的 HepG2 细胞中,MTA3 表达上升,Snail 表达则受抑制、E-cadherin 表达上调 ($P < 0.05$),EMT 被抑制。而在 ER α 低表达的 SMMC-7721 细胞中,则没有明显改变。通过氟维司琼处理后,HepG2 细胞 MTA3 表达下降,Snail 表达上升、E-cadherin 表达下调 ($P < 0.05$),EMT 被激活(图 2)。笔者得到的结果与 Fujita 等^[12]在乳腺癌细胞中获得的结果类似,雌二醇可以通过激活 ER α ,抑制 Snail,激活 E-cadherin 而抑制 EMT,而氟维司琼则可以起到相反的作用。然后笔者又检测了凋亡相关因子 BAX 的表达,ER α 激活后,EMT 被抑制,BAX 表达增加,肿瘤细胞凋亡激活,而通过氟维司琼抑制 ER α 后,EMT 被激活,BAX 表达降低,细胞凋亡被抑制。本研究实验结果提示在 ER α 高表达的肝癌细胞株中,雌激素可以通过激活 ER α ,激活 MTA3,抑制 Snail,激活 E-cadherin,从而抑制这些 HCC 细胞株的 EMT,同时激活了肿瘤细胞的凋亡。这个结果解释了雌激素在部分 HCC 的发生发展过程中起到一定的抑制 HCC 生长发展的作用,与其他学者所报道的 ER α 在 HCC 发展中的角色相符^[9-11]。但 HCC 发展,特别是进展期 HCC 的发展过程往往是一个多基因调控的过程,本结果仅提示了在部分 ER α 表达阳性的 HCC 中,ER α 可以作为一个潜在的治疗靶点。

通过以上结果,笔者认为 ER α →MTA3→Snail→E-cadherin 信号通路在部分 HCC 细胞中存在并调控 EMT,与肿瘤凋亡相关。在 ER α 高表达的 HCC 细胞中,ER α 可以作为一个靶点对此通路进行干预。雌二醇通过激活 ER α 进而抑制 EMT,激活肿瘤凋亡,抑制 HCC 的发展,而氟维司琼则可以起到相反的作用。本结果拓展了 HCC 治疗的思路,在 HCC 细胞中证明了雌二醇抑制 EMT 的机制,下一步需要在体内实验中进一步验证。

参考文献

- 1 Siegel R, Naishadham D, Jemal A. Cancer statistics [J]. CA Cancer J Clin, 2012, 62(1): 10-29
- 2 Llovet JM, Schwartz M, Mazzaferro V. Resection and liver transplantation for hepatocellular carcinoma [J]. Semin Liver Dis, 2005, 25(2): 181-200
- 3 Llovet JM, Ricci S, Mazzaferro V, et al. Sorafenib in advanced hepatocellular carcinoma [J]. N Engl J Med, 2008, 359(4): 378-390
- 4 Kalluri R, Weinberg RA. The basics of epithelial-mesenchymal transition [J]. J Clin Invest, 2009, 119(6): 1420-1428
- 5 Min AL, Choi JY, Woo HY, et al. High expression of Snail mRNA in blood from hepatocellular carcinoma patients with extra-hepatic metastasis [J]. Clin Exp Metastasis, 2009, 26(7): 759-767
- 6 Woo HY, Min AL, Choi JY, et al. Clinicopathologic significance of the expression of Snail in hepatocellular carcinoma [J]. Korean J Hepatol, 2011, 17(1): 12-18
- 7 de Herreros AG, Peiro S, Nassour M, et al. Snail family regulation and epithelial-mesenchymal transitions in breast cancer progression [J]. J Mammary Gland Biol Neoplasia, 2010, 15(2): 135-147
- 8 Giangreco A, Lu L, Vickers C, et al. Beta-Catenin determines upper airway progenitor cell fate and preinvasive squamous lung cancer progression by modulating epithelial-mesenchymal transition [J]. J Pathol, 2012, 226(4): 575-587
- 9 Maeda S, Kamata H, Luo JL, et al. IKKbeta couples hepatocyte death to cytokine-driven compensatory proliferation that promotes chemical hepatocarcinogenesis [J]. Cell, 2005, 121(7): 977-990
- 10 Nakatani T, Roy G, Fujimoto N, et al. Sex hormone dependency of diethylnitrosamine-induced liver tumors in mice and chemoprevention by leuprorelin [J]. Jpn J Cancer Res, 2001, 92(3): 249-256
- 11 Naugler WE, Sakurai T, Kim S, et al. Gender disparity in liver cancer due to sex differences in MyD88-dependent IL-6 production [J]. Science, 2007, 317(5834): 121-124
- 12 Fujita N, Jaye DL, Kajita M, et al. MTA3, a Mi-2/NuRD complex subunit, regulates an invasive growth pathway in breast cancer [J]. Cell, 2003, 113(2): 207-219

(收稿日期:2013-02-11)

(修回日期:2013-03-14)